

Оценка проводимости низкотемпературной (U—F)-плазмы высокой плотности

Л. П. Кудрин

УДК 533.9

Оценивается электронная и ионная электропроводность плазмы в области температур 0,4—3 эв в условиях термодинамического равновесия. Оценка показывает, что определяющую роль играют некулоновские процессы столкновения электронов в плазме. Таким образом, электропроводность может отличаться от спитперовской на несколько порядков величины.

Электропроводность плазмы важно знать для определения оптимальных термодинамических условий в различных технических приложениях, для оценки диффузии магнитного поля и т. д. При этом наименее исследованы область высоких давлений p (сотни атмосфер и более) и область температур T , составляющих доли и единицы электронвольт. Низкотемпературная плазма (для части рассматриваемой области T и p) неидеальна, так как кулоновская энергия на среднем расстоянии между частицами сравнима с kT . Вычисление проводимости неидеальной плазмы, а также ее термодинамических функций связано с принципиальными трудностями, потому что эта задача, вообще говоря, является задачей без малого параметра. Поскольку неизвестно уравнение состояния неидеальной плазмы, невозможно вычислить с достаточной точностью равновесные концентрации отдельных компонент плазмы. Кроме того, информация об элементарных процессах столкновения электронов с атомами и молекулами настолько бедна, что уточнение уравнения состояния не внесло бы существенного уточнения в расчет проводимости (σ). Поэтому речь может идти лишь об оценке σ . В настоящей работе вычисляется σ плазмы, исходным газом для которой является UF_6 . Условно назовем такую плазму (U—F)-плазмой.

Рассмотрим плазму, находящуюся в состоянии термодинамического равновесия при температуре T . При этом электронная проводимость может быть выражена через подвижность электронов K_e :

$$\sigma = \frac{en_e v}{E} = en_e K_e; \quad (1)$$

$$K_e \approx \frac{e}{m} \cdot \frac{L}{v} = \frac{e}{m} \cdot \left(\frac{3kT}{m}\right)^{-1/2} \cdot \frac{1}{nq_c},$$

где m , e , v — масса, заряд и средняя скорость электронов; L — средняя длина свободного пробега электрона до столкновения; q_c — сече-

ние столкновения; n — плотность частиц-мишени. Учет дебаевского экранирования, а также электрон-электронных столкновений, согласно работе [1], приводит к следующему выражению для σ :

$$\sigma_{сп} = 2,64 \cdot 10^{-4} \frac{F(Z)}{Z \ln \lambda} T^{3/2} \text{ мО/см}, \quad \lambda = \frac{h}{r_0}, \quad (2)$$

где Z — заряд иона; h — дебаевский радиус; F — слабая функция Z . Необходимо отметить, что, когда плотности электронов и положительных ионов не совпадают (из-за наличия отрицательных ионов), выражение (2) следует умножить на n_e/n_i , чем в инженерных расчетах иногда пренебрегают. Следовательно, для однозарядных ионов для кулоновской составляющей сопротивления получим выражение вида

$$\eta_1 = 6,54 \cdot 10^3 T^{-3/2} \ln \lambda \cdot \frac{n_i}{n_e} \text{ (ОМ·см)}.$$

Записывая, аналогично выражению (1), сопротивление, обусловленное некулоновскими процессами столкновения электронов, получим

$$\eta_2 = 2,40 \cdot 10^2 \frac{T^{1/2}}{n_e} \sum_k n_k q_k, \quad (3)$$

где q_k — сечение столкновения электрона с частицей k -й компоненты плазмы, имеющей плотность n_k . Тогда

$$\sigma = \frac{1}{\eta_1 + \eta_2}. \quad (4)$$

Равновесный состав термодинамически идеальной (U—F)-плазмы, а также уравнение состояния были вычислены в работе [2], в которой в области температур 0,4—3 эв учитывались следующие компоненты: U, U⁺, U⁺⁺, F, F⁺, F⁻, e, F₂, UF_{*n*} ($n = 1, \dots, 6$). Оказалось, что основными составляющими плазмы являются F, F⁻, F₂ и U.

Главная задача при расчете σ — оценка сечений столкновений электронов с различными компонентами плазмы. Столкновения включают рассеяние электронов на атомах, ионах, молекулах, а также захват электронов, обусловленный различными механизмами (фотозахват, рекомбинация и т. д.). Отметим, что сечение кулоновского рассеяния электронов на ионах на большие углы составляет от $10^3 \lambda_0^2$ при энергии электрона 0,4 эв до $10 \lambda_0^2$ при 3 эв (λ_0 — борковский радиус).

Рассеяние электронов атомами. Основной процесс рассеяния медленных электронов атомами — упругое рассеяние. Неупругое рассеяние существенно, когда энергия падающего электрона сравнима с энергией возбуждения атома. Если электрон обладает энергией, достаточной в этом смысле для неупругого соударения, то, грубо говоря, вероятность упругого и неупругого соударений примерно одинакова. Сечения упругого рассеяния атомами колеблются в широких пределах: от $q_{\text{мин}} \approx \pi a_0^2$ (геометрического сечения) до значений, на три-четыре порядка превышающих πa_0^2 . Теоретический предел для частичного сечения q_l , как упругого, так и неупругого, определяется величиной

$$q_l^{\text{макс}} = \frac{4\pi(2l+1)}{k^2},$$

где k и l — волновое число и орбитальное квантовое число электрона соответственно. Более определенное значение q при малых прицельных параметрах (большие углы рассеяния) может быть получено с помощью рассмотрения сечения так называемого поляризационного захвата [3]. В классическом случае это соответствует задаче о «падении» частицы на центр [4] в некотором эффективном потенциале. Тогда

$$q = 2\pi \sqrt{\frac{ae^2}{2E}}. \quad (5)$$

Сравнение значений q , вычисленных по формуле (5), с экспериментальными данными для некоторых атомов [3, 5] позволяет заключить, что формула (5) дает правильную оценку по порядку величины и, как правило, оценку снизу, причем она наиболее точна для атомов с большой поляризуемостью α . Например, известно, что сечения рассеяния медленных электронов на атомах щелочных металлов очень велики. Вычисление q для цезия при энергии электронов $E = 0,2$ эв ($\alpha = 360$ ат. ед) дает значение $310 \pi a_0^2$, что лишь вдвое меньше экспериментального [3]. Нас интересует рассеяние медленных электронов прежде всего на атомах урана и фтора. Для q урана в литературе нет ни экспериментальных, ни теоретических данных. Величина α для урана была вычислена в работе [6] на основе статистической модели атома (модель Томаса — Ферми — Дирака с корреляционной поправкой):

$$\alpha = \frac{4}{9Za_0} [\langle r^2 \rangle]^2; \quad \langle r^2 \rangle = 4\pi \int_0^R r^4 \rho(r) dr,$$

где $\rho(r)$ — плотность атомных электронов; R — граница атома.

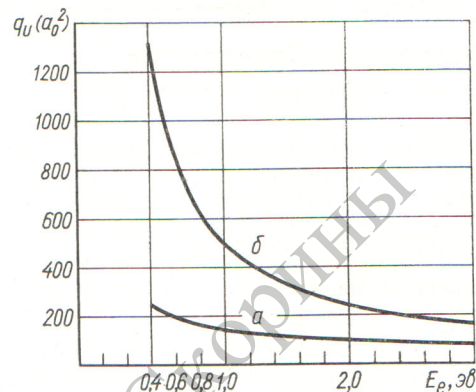


Рис. 1. Сечение рассеяния медленных электронов на атомах урана, рассчитанное по формуле (5) (кривая а) и квазиклассическим методом (кривая б).

Полученная таким образом величина $\alpha = 4 \cdot 10^{-24} \text{ см}^3 = 33$ ат. ед. равна экспериментально измеренной поляризуемости ксенона. Это, по-видимому, позволяет утверждать, что α_U на самом деле больше, так как атом ксенона — атом с замкнутыми электронными оболочками. Зависимость $q_U(E)$ представлена на рис. 1 (кривая а). Для оценки сечения рассеяния на уране сверху был предпринят расчет сечения в квазиклассическом приближении. Такой расчет не является корректным, ввиду того что при рассматриваемых скоростях электронов основной вклад в сечение вносят члены с $l < 4$. Кроме того, в таком расчете невозможно учесть рассеяние на малые углы, так как одним из условий квазиклассичности рассеяния является неравенство $\theta l \gg 1$, где θ — угол рассеяния. Однако для расчета диффузионного сечения, которое и необходимо, т. е.

$$q_d = \int q(\theta) (1 - \cos \theta) d\theta,$$

трудность с малыми углами отпадает. Это сечение можно представить через фазы рассеяния δ_l :

$$q_d = \frac{2\pi}{E} \sum_l (l+1) \sin^2(\delta_l - \delta_{l+1}). \quad (6)$$

Здесь E — энергия электрона, ат. ед.;

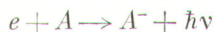
$$\delta_l = \int_{y_1}^{\infty} \left\{ 2 \left[E + \frac{Z}{y} \psi \left(\frac{y}{\mu} \right) + \varepsilon \right] - \frac{\left(l + \frac{1}{2} \right)^2}{y^2} \right\}^{1/2} dy - \int_{y_2}^{\infty} \left[2(E + \varepsilon) - \frac{(l+1/2)^2}{y^2} \right]^{1/2} dy, \quad (7)$$

где $\frac{z\psi(x)}{x}$ — безразмерный потенциал атома; ϵ — вариационный параметр; $\mu = 0,834 a_0 Z^{-1/3}$.

Потенциал атома урана был вычислен ранее в работе [7] в приближении статистической модели атома с поправкой на корреляцию электронов. Вычисление q_d и δ_l показало, что основной вклад в q_d вносят парциальные сечения с $l = 1$ и $l = 2$. Зависимость $q_d(E)$ представлена на рис. 1 (кривая б). Неопределенность в оценке сечений особенно велика при малых энергиях. Поэтому для оценки σ в дальнейшем расчет ведется в двух вариантах.

Экспериментальные данные для фтора также отсутствуют. В работе [8] было вычислено q_F в интервале энергий 0—15 эв. Несмотря на небольшую величину q_F ($\sim \pi d_0^2$) вклад рассеяния электронов на атомах фтора достаточно велик из-за высокой концентрации этих атомов в плазме.

Фотозахват электронов с образованием отрицательных ионов. Наличие в плазме большой концентрации ионов F^- указывает на необходимость рассмотрения процессов с образованием отрицательных ионов. Радиационный захват

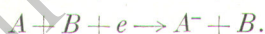
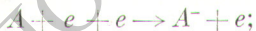


достаточно хорошо исследован теоретически и для ряда атомов — экспериментально [5]. В работе [8] вычислено сечение фотоотрыва для иона F^- . Оно слабо зависит от энергии электронов. Расчет с помощью принципа детального равновесия дает для сечения фотозахвата при энергии электрона 1,75 эв

$$q_c^F \approx 10^{-6} \pi a_0^2.$$

Такая малая величина сечения позволяет пренебречь вкладом этого процесса, несмотря на высокую концентрацию атомов фтора в плазме.

Образование отрицательных ионов в тройных столкновениях. Если плотность электронов не слишком мала ($> 10^{13} \text{ см}^{-3}$), ионы F^- образуются в основном при тройных столкновениях типа

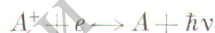


При равных плотностях электронов и атомов вероятность образования отрицательных ионов в первом случае на три-четыре порядка больше, чем во втором [9]. Для фтора, к сожалению, нет ни теоретических, ни экспериментальных данных. Однако сечение разрушения отрицательного иона Cl^- электронным ударом было вычислено в работе [10]. С помощью принципа

детального равновесия можно показать, что сечение прилипания электронов при $T = 0,4 \text{ эв}$ $q_n^{Cl} \approx 4 \cdot 10^{-17} \text{ см}^2$. Поэтому трудно ожидать, чтобы в рассматриваемой области температур сечение прилипания с образованием F^- в тройных столкновениях превышало геометрическое с учетом того, что сродство фтора и хлора к электрону практически одинаково.

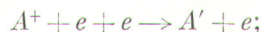
Электрон-ионная рекомбинация. Электроны и ионы могут рекомбинировать в результате ударно-радиационной рекомбинации (сложного процесса, переходящего в радиационную рекомбинацию в предельном случае разреженной плазмы), а также при диссоциативной рекомбинации, включающей связанный безызлучательный переход.

Теоретические оценки и эксперимент [5] показывают, что при рассматриваемых плотностях радиационная двухчастичная рекомбинация типа



маловероятна. В широком интервале энергий электронов для многих однозарядных ионов A^+ коэффициент рекомбинации $\alpha^* \approx \bar{v} q_r(\bar{v}) \approx 10^{-12} \text{ см}^3/\text{сек}$. Следовательно, в наших условиях $q_r \approx 10^{-19} \div 10^{-20} \text{ см}^2$. Данных по диссоциативной рекомбинации практически нет, однако на основании оценок можно утверждать, что сечение этого процесса $q \ll \pi a_0^2$. К счастью, потенциал ионизации молекул UF_n оказывается достаточно высоким ($\sim 10 \text{ эв}$), так что плотность молекулярных ионов мала. Поэтому вкладом диссоциативной рекомбинации в частоту столкновений можно пренебречь.

При больших плотностях электронов существенную роль играют процессы тройной рекомбинации



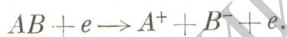
Задача об ударно-радиационной рекомбинации для водорода была решена Бейсом [5]. Аналогичные расчеты, проведенные в работе [5] для ионов щелочных металлов, указывают на слабую чувствительность α^* к структуре однозарядных ионов. Недавно выполненный более тщательный расчет ударно-радиационной рекомбинации в цезиевой плазме [11] подтверждает этот вывод, поскольку α_{Cs}^* совпадает с α_H^* с точностью до двойки. Этот результат подтвержден экспериментальными работами, выполненными на ударных трубах и в дугах [5, 12]. Поэтому в нашем случае для расчета

ударно-радиационной рекомбинации использовались кривые Бейтса для электрон-протонной рекомбинации. Оценим максимальную величину сечения для нашей минимальной температуры $T = 0,4 \text{ эв}$ и $n_e = 10^{19} \text{ см}^{-3}$. Величина $\alpha^* \approx 2 \cdot 10^{-7} \text{ см}^3/\text{сек}$, т. е. $q_{\text{рек}} \approx 5 \cdot 10^{-14} \text{ см}^2 = 5 \cdot 10^2 \lambda_0^2$. Таким образом, сечение рекомбинации может быть сравнимо с сечением рассеяния медленных электронов на атомах. Коэффициент рекомбинации для многозарядных ионов с зарядом Z легко пересчитывается через коэффициенты для однозарядных ионов [5]:

$$\frac{1}{Z} \alpha^* (Z, Z^7 n_e, Z^2 T) = \alpha^* (1, n_e, T). \quad (8)$$

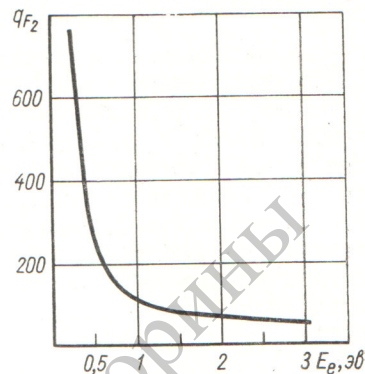
Столкновения медленных электронов с молекулами. Для сечений столкновений электронов с молекулами фторидов урана нет ни экспериментальных, ни теоретических данных. Однако для молекулярных галогенов экспериментальные сечения имеют сходные энергетические зависимости. Так, у сечений для I_2 , Cl_2 и Br_2 в области $E = 1,2 \div 1,6 \text{ эв}$ отмечается резкий минимум, а при $E < E_{\text{мин}}$ сечения резко возрастают. В области $E = 0,3 \div 0,4 \text{ эв}$ сечение q_s может достигать сотен геометрических сечений. Трудно ожидать сильного отклонения сечений рассеяния на молекулах F_2 от этих значений.

Кроме рассмотренного выше рассеяния медленных электронов молекулами имеет место диссоциативное прилипание электронов к молекулам:



Для большинства исследованных молекул $q_{\text{п}} \leq 10^{-17} \text{ см}^2$, однако для молекул галогенидов это сечение может быть существенно большим. Например, q_{SF_6} при $E = 0,1 \text{ эв}$ составляет $5,7 \cdot 10^{-16} \text{ см}^2$. Точное знание сечений столкновений электронов с молекулами UF_n не является важным из-за малой концентрации этих молекул в плазме при $E > 0,5 \text{ эв}$. Поэтому при оценке проводимости предполагалось, что сечение рассеяния на этих молекулах складывается из сечений рассеяния на атомах урана и фтора. Этого нельзя сказать о молекулах F_2 , для которых необходимо точное знание сечений ввиду их большой концентрации. За неимением других данных примем $q_{F_2} = q_{Cl_2}$ (сечение рассеяния на F_2 приведено на рис. 2). На рис. 3 представлены частоты столкновений (γ), соответствующие основным (некулоновским) элементарным процессам, для начальных давлений $p_0 = 1,6 \text{ атм}$ и $p_0 = 10 \text{ атм}$. Как видно из рисунков, процес-

Р и с. 2. Сечение рассеяния медленных электронов на молекулах F_2 .



сами, вносящими основной вклад в γ , являются процессы рассеяния электронов на уране, молекулах F_2 , атомарном фторе, ударно-радиационная рекомбинация. На этом же рисунке представлены кривые суммарной частоты столкновений γ для двух вариантов, соответствующих верхней и нижней оценкам рассеяния электронов на атомах урана. При $T \leq 1 \text{ эв}$ основной вклад вносит рассеяние на атомах урана и молекулах F_2 . При более высоких температурах существенно рассеяние на атомах фтора. Наконец, при $kT \approx 2 \text{ эв}$ становится важной ударно-радиационная рекомбинация, причем основной вклад в этот процесс вносит рекомбинация на двукратно заряженных ионах.

На рис. 4, а, б, в представлена проводимость плазмы соответственно для p_0 , равных 1,6; 3,2 и 10 атм, причем кроме проводимости, вычисленной в двух вариантах по формуле (4), для сравнения приведены проводимости, рассчитанные по формуле (2) и по формуле (2), поправленной на отношение плотностей ионов и электронов.

На рис. 5 для нескольких значений T приведена зависимость σ (первый вариант) от величины начального давления p_0 гексафторида урана. Расхождение вычисленной проводимости со значениями $\sigma_{\text{Сн}}$, особенно при низких температурах, велико. Так, для $p_0 = 1,6 \text{ атм}$ и $T = 0,7 \text{ эв}$ $\frac{\sigma}{\sigma_{\text{Сн}}} = \frac{0,7}{52} = 1,3 \cdot 10^{-2}$. При более низких T это отношение составляет несколько порядков. Для $p_0 = 10 \text{ атм}$ и $T = 0,7 \text{ эв}$ $\frac{\sigma}{\sigma_{\text{Сн}}} = \frac{6 \cdot 10^{-2}}{50} = 1,2 \cdot 10^{-3}$. Формулой (2) с поправкой на отношение плотностей, необходимой в плазме с большой концентрацией отрицательных ионов, можно пользоваться лишь для грубой оценки при $T > 3 \text{ эв}$. Рис. 5 дает возможность грубой интерполя-

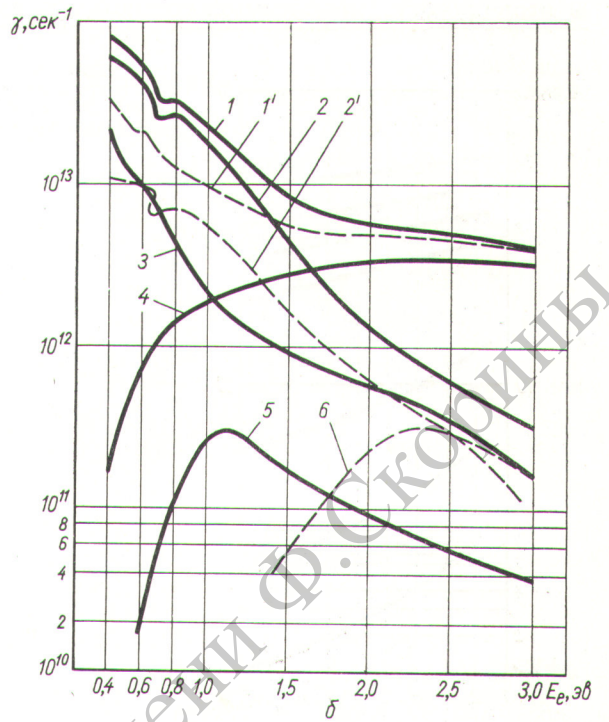
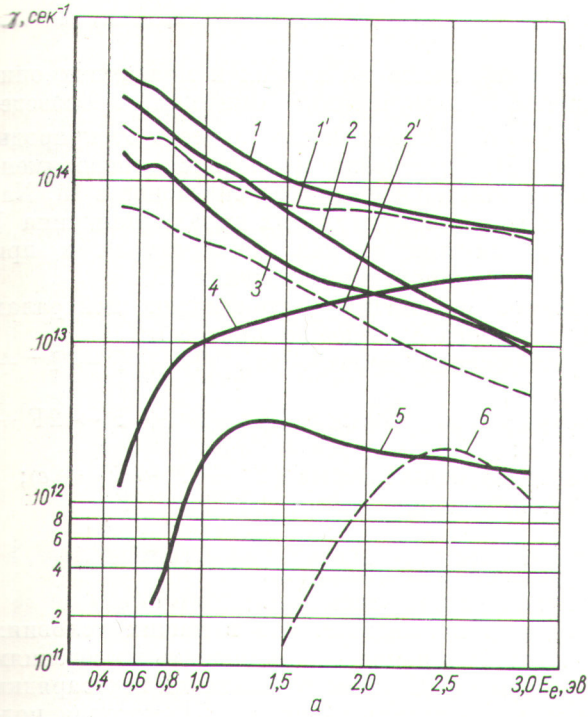


Рис. 3. Зависимость частоты столкновений электронов с отдельными компонентами плазмы от энергии электронов ($a - p_0 = 1,6 \text{ атм}$, $b - p_0 = 10 \text{ атм}$):

1, 1' — суммарное значение (первый и второй варианты расчета соответственно); 2, 2' — рассеяние электронов на атома урана (первый и второй варианты); 3 — рассеяние электронов на молекулах F_2 ; 4 — рассеяние электронов на атома фтора; 5 — рекомбинация однозарядных ионов; 6 — двухзарядная рекомбинация.

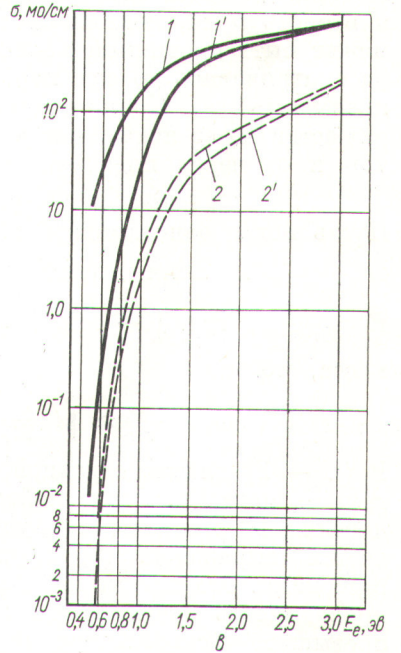
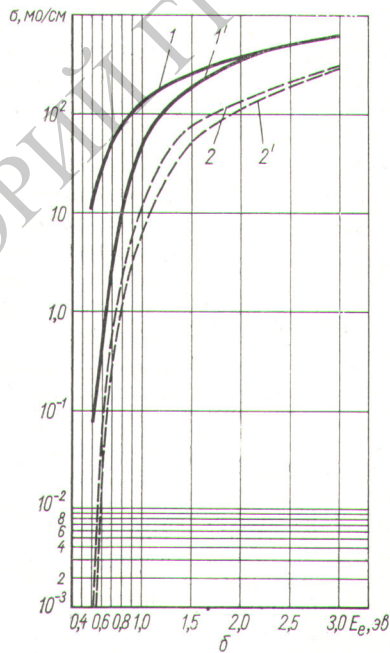
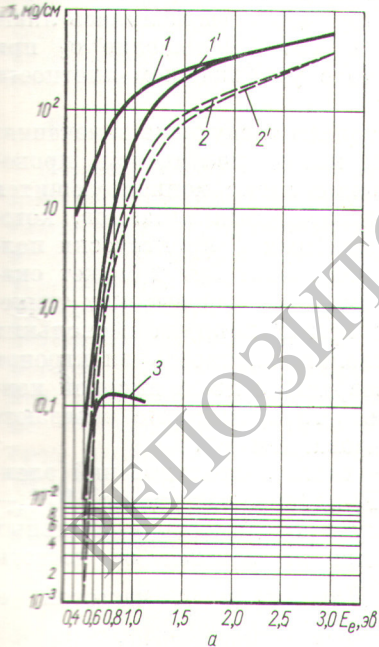


Рис. 4. Электропроводность ($U - F$)-плазмы ($a - p_0 = 1,6 \text{ атм}$, $b - p_0 = 3,2 \text{ атм}$, $v - p_0 = 10 \text{ атм}$):

1, 1' — проводимости, рассчитанные по формуле (2) и по формуле (2), поправленной на n_e/n_i ; 2, 2' — вычисленная проводимость (первый и второй варианты расчета).

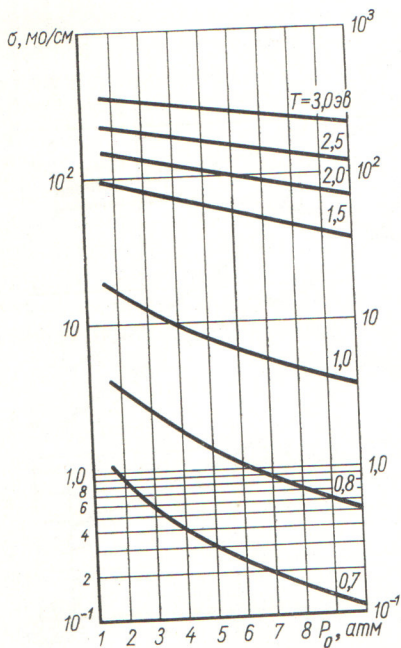


Рис. 5. Зависимость электропроводности плазмы от начального давления UF_6 .

ции проводимости для различных p_0 , причем для $T > 1$ эВ эта интерполяция особенно удобна, так как зависимость $\sigma(p_0)$ практически линейна.

В связи с тем что при температурах в несколько десятых электронвольта электронная плотность мала, ионная проводимость плазмы может быть сравнимой с электронной, которая рассматривалась до сих пор, или даже может превышать ее. Ионная проводимость σ_i выражается через подвижность ионов K_i ; так же, как и σ_e через подвижность электронов:

$$\sigma_i = q_i n_i K_i; \quad \sigma_e = e n_e K_e.$$

Пусть ионы однозарядны, т. е. $q_i = e$. Тогда $\frac{n_i}{n_e} = \frac{K_e}{K_i}$. Если предположить [3], что $K = \frac{A}{\sqrt{aM}}$, где $A = \text{const}$; M — приведенная масса, то

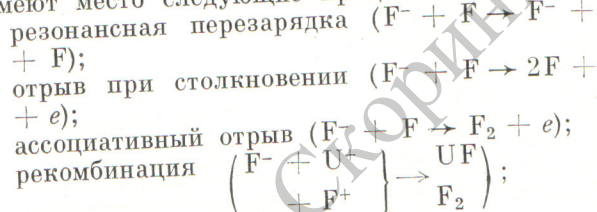
$$\frac{K_e}{K_i} \approx \sqrt{\frac{M_i}{M_e}}. \quad (9)$$

В $(U \rightarrow F)$ -плазме основной носитель ионного тока — ионы F^- . Легко найти, что для столкновений F^- с ионами в случае $n_e \ll n_i$ получается выражение (9) и при кулоновском рассеянии. Эта оценка показывает, что ионная проводимость существенна, если число ионов превышает число электронов более чем на два порядка величины.

Была проведена более корректная оценка σ_i для $p_0 = 1,6$ атм. Если считать, что сечение

рассеяния ионов на атомах и молекулах описывается диффузионным сечением, произведение $\xi = K \sqrt{M}$ не должно зависеть от природы иона [5]. Этот факт проверялся экспериментально при изучении диффузии ионов в Li, Na, K, Rb, Ne, Ar и других газах. Величина ξ постоянна при низких температурах и при рассеянии ионов на молекулах [5].

Кроме механизма рассеяния на нейтралах имеют место следующие процессы:



тройная рекомбинация;
 кулоновское рассеяние.

Анализ показывает, что в наших условиях подвижность ионов можно оценить по сечениям перезарядки. Сечение резонансной перезарядки оценено по теории Фирсова [5], которая подтверждена, в частности, опытами Далгарно [5]. Сравнимый вклад в сечение вносит также кулоновское рассеяние.

Как видно из рис. 5, ионная проводимость при $p_0 = 1,6$ атм и $T < 0,6$ эВ выше электронной проводимости. Кривая для σ_i имеет максимум, поскольку при оценке вычислялась лишь подвижность ионов F^- . Уменьшение σ_i при $T > 0,6$ эВ связано с уменьшением плотности этих ионов.

В заключение сделаем следующие замечания:

1. Стандартный метод увеличения проводимости — добавление легко ионизирующихся добавок, например щелочных металлов, которые при рассматриваемых T практически полностью ионизируются. Этот метод может оказаться эффективным лишь при высоких температурах, так как при T порядка нескольких десятых электронвольта плотность электронов существенно не возрастает из-за высокой концентрации атомов фтора, которые «съедают» электроны с образованием F^- .

2. Характерная частота столкновений электронов в $(U \rightarrow F)$ -плазме составляет $10^{13} - 10^{14} \text{ сек}^{-1}$, поэтому проводимость в реальных случаях фактически не зависит от частоты внешнего поля. (Для поля с частотой ω

$$\sigma \propto \frac{\gamma^2}{\gamma^2 + \omega^2}.)$$

3. Для улучшения достоверности полученных величин необходимо в первую очередь вы-

числить или измерить сечения рассеяния медленных электронов на уране и F_2 . Необходимо также учитывать термодинамическую неидеальность плазмы.

Автор признателен М. И. Чибисову и Б. М. Смирнову за обсуждение данных по сечениям элементарных процессов.

Поступила в Редакцию 20/VIII 1966 г.

ЛИТЕРАТУРА

1. Л. С п и т ц е р. Физика полностью ионизованной плазмы. М., «Мир», 1965.
 2. А. И. Б а з ь, В. И. С а п о ж н и к о в. Аннотация доклада на конференции в Новосибирске. Новосибирск, Изд-во СО АН СССР, 1966 г.

3. Г. М е с с и, Г. Б а р х о п. Электронные и ионные столкновения. М., Изд-во иностр. лит., 1957.
 4. Л. Д. Л а н д а у, Е. М. Л и ф ш и ц. Механика. М., Физматгиз, 1961.
 5. Атомные и молекулярные процессы. Под ред. Д. Бейтса. М., «Мир», 1964.
 6. W. E g m a. Phys. Rev., **132**, 1100 (1963).
 7. Л. П. К у д р и н, М. Я. М а з е е в. Атомная энергия, **22**, 83 (1967).
 8. I. C o o p e r, I. M a r t i n. Phys. Rev., **126**, 1482 (1962).
 9. М. И. Ч и б и с о в. ЖЭТФ, **49**, 852 (1965).
 10. H. M a s s e y, R. S m i t h. Proc. Roy. Soc., **A155**, 472 (1936).
 11. В. А. А б р а м о в. «Теплофизика высоких температур», **3**, 23 (1965).
 12. I. W a d a, R. K u c h t l i. Phys. Rev. Letters, **10**, 513 (1963).

Стационарный перенос моноэнергетических нейтронов в неоднородных средах

А. В. СТЕПАНОВ

УДК 539.125.25

Рассмотрено прохождение моноэнергетических нейтронов от стационарного источника в неоднородной среде, которое можно описать с помощью уравнения Больцмана с флуктуирующими коэффициентами. Выведено уравнение для потока нейтронов, усредненного по флуктуациям в среде. Получено решение этого уравнения в предельных случаях, когда характерный размер неоднородности $l \gg \lambda_{s0}$ (длины свободного пробега по отношению к рассеянию в однородной среде) и $l \ll \lambda_{s0}$. В обоих случаях $l \ll L_0$ (длины диффузии нейтронов в однородной среде). В качестве примера неоднородной среды рассмотрена периодическая решетка реактора.

нейтронов убывает вдоль и поперек слоев с разными скоростями. Функция $\langle G \rangle$ учитывает этот эффект анизотропии, тогда как функция G_0 , очевидно, изотропна. Как было показано ранее [1], функция $\langle G(\xi | \xi_0) \rangle$ удовлетворяет следующему приближенному уравнению*:

$$\hat{B} \langle G(\xi | \xi_0) \rangle = -\delta(\xi - \xi_0) - \int d\xi' M_1(\xi | \xi') \langle G(\xi' | \xi_0) \rangle, \quad (2)$$

где

$$M_1(\xi | \xi') = \langle \hat{\mu}(\xi) G_0(\xi | \xi') \hat{\mu}(\xi') \rangle, \quad (3)$$

а $\hat{\mu}(\xi)$ — возмущение, обусловленное наличием флуктуаций, причем

$$\langle \hat{\mu}(\xi) \rangle = 0. \quad (4)$$

Перенос нейтронов в средах со случайными неоднородностями, например, когда сечение поглощения нейтронов изменяется от точки к точке нерегулярно, удобно описывать с помощью усредненной функции Грина кинетического уравнения $\langle G(\xi | \xi_0) \rangle$; где ξ — совокупность независимых переменных задачи; ξ_0 — переменные, характеризующие источник нейтронов. Скобки $\langle \rangle$ означают вычисление среднего по статистическому ансамблю неоднородных сред (математическое ожидание). Функция $\langle G(\xi | \xi_0) \rangle$ не совпадает с функцией Грина $G_0(\xi | \xi_0)$ кинетического уравнения с усредненными коэффициентами

$$\hat{B}\psi(\xi) = 0, \quad (1)$$

описывающего перенос нейтронов в соответствующей однородной среде. Например, если среда обладает слоистой структурой, то плотность

Функция $\langle G(\xi | \xi') \rangle$ была найдена в простейшем случае стационарной диффузии тепловых нейтронов в среде с флуктуирующим макроскопическим сечением поглощения $\Sigma_a(\mathbf{r})$, где \mathbf{r} — пространственная координата [2]. В следующем разделе настоящей работы эта же задача решена с учетом флуктуаций коэффициента диффузии $D(\mathbf{r})$. Рассмотрена диффузия тепловых нейтронов в плоской решетке. Решение задачи сравнивается с результатами, полученными другим методом [3].

* При выводе этого уравнения точно учитываются первые два момента флуктуирующих параметров кинетического уравнения: средние значения и парные корреляционные функции.